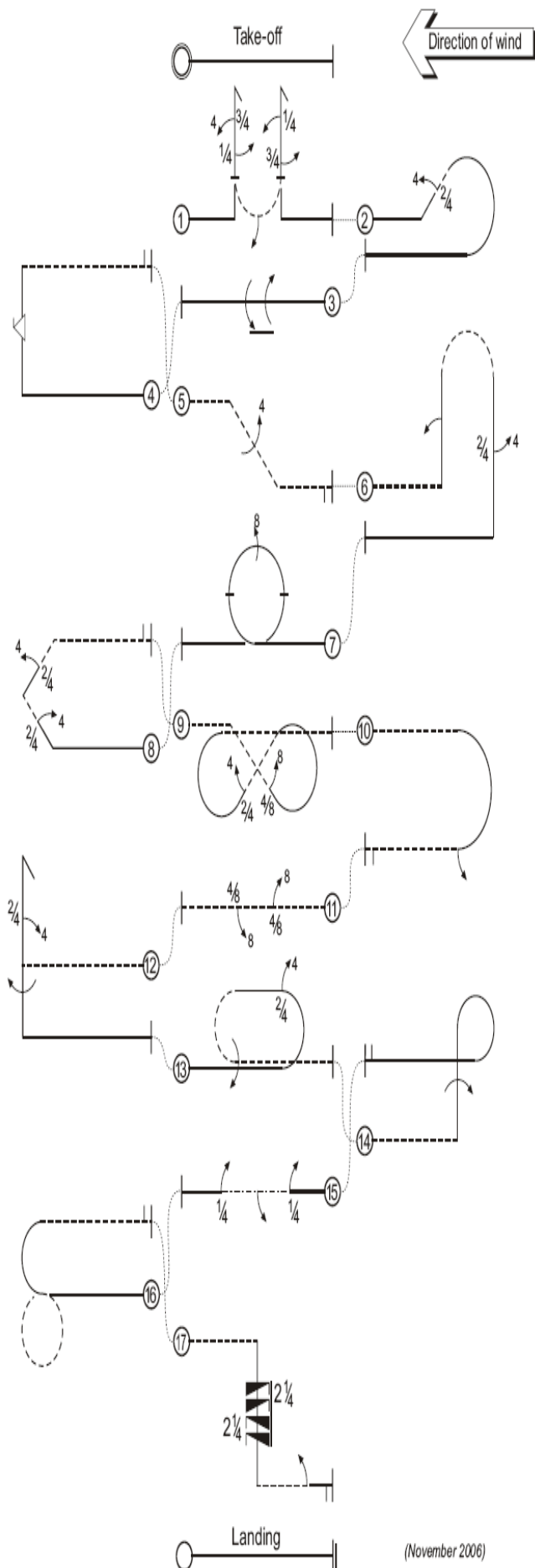


PRELIMINARY SCHEDULE P-11 (from January 2010)



F3A P11 1. Figura M z $\frac{3}{4}$ valjčka na vzponu, $\frac{1}{4}$ valjčka na spustu, pol loopinga z pol valjčka, $\frac{1}{4}$ valjčka na vzponu in $\frac{3}{4}$ valjčka na spustu

F3A P11 2. Pol obrnjene kubanske osmice z $\frac{2}{4}$ valjčka na vzponu

F3A P11 3 2 valjčka protismerno

F3A P11 4. Pol kvadratnega loopinga z dinamičnim valjčkom na vzponu, izhod hrbtno

F3A P11 5. Spust pod 45% z $\frac{4}{4}$ valjčka, izhod hrbtno

F3A P11 6. Push-push-pull humpty bump, pol valjčka na vzponu in $\frac{2}{4}$ valjčka na spustu,

F3A P11 7. Looping z integriranim $\frac{8}{8}$ valjčkom

F3A P11 8. Diamant z $\frac{2}{4}$ valjčka na vsaki stranici

F3A P11 9. Kubanska osmica z $\frac{4}{8}$ valjčka in $\frac{2}{4}$ valjčka na spustu, izhod hrbtno

F3A P11 10. Pol loopinga z $\frac{1}{2}$ valjčka, izhod hrbtno

F3A P11 11. $\frac{4}{8}$ valjčka protismerno, izhod hrbtno

F3A P11 12. Premet čez krilo z $\frac{2}{4}$ valjčka na vzponu in celim valjčkom na spustu

F3A P11 13. Dvojni imelman z $\frac{2}{4}$ valjčka zgoraj in z celim valjčkom spodaj

F3A P11 14. Figura 9 z celim valjčkom na vzponu

F3A P11 15. Let na nož protismerno

F3A P11 16. Figura 8 z celim negativnim loopingom in $\frac{1}{2}$ loopinga zgoraj

F3A P11 17. Sveder z 2 in $\frac{1}{4}$ obratoma protismerno, pol valjčka na izhodu

(November 2006)